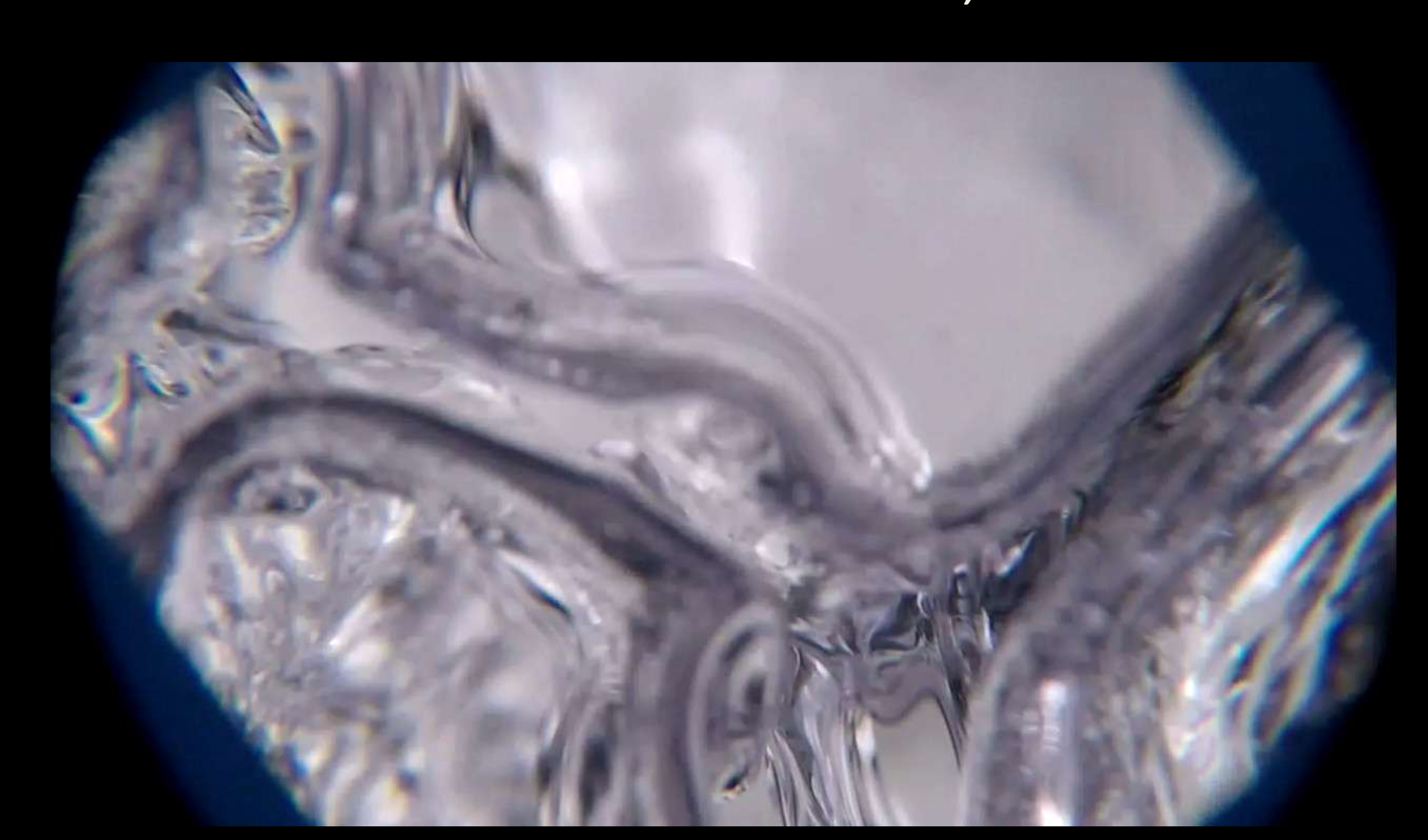
## Использование метода видеорегистрации для изучения вертикального распределения зоопланктона Белого моря в ходе студенческой практики.

<u>Прудковский А.А.</u>, Бондарь Н.И., Зарубина Ю.М., Каримова Н.Р., Купаева Д.М., Найденкова А.Д., Пронкина К.О., Шиян А.С.

МГУ имени М.В.Ломоносова, биологический факультет, кафедра зоологии беспозвоночных





Классические методы изучения количественного распределения организмов в море необычайно трудоёмки. При этом основной недостаток большинства методов - это дискретность полученных данных. Дискретность данных при изучении распределения зоопланктона методом сетных сборов ограничивает нас в исследовании многомасштабной изменчивости зоопланктона или особенностей микрораспределения организмов. Метод видеорегистрации зоопланктона позволяет получать непрерывные ряды данных. Такая методика незаменима при изучении особенностей вертикального распределения организмов в слоях воды с резкими градиентами температуры и солёности.







1мм

## Методика:

Исследование было выполнено 6-8 июля 2016 г в акватории беломорской биостанции ББС им. Н.А.Перцова. В нашей работе мы использовали камеру GoPro Hero 4, оснащённую двумя макролинзами (х3,5 и х12,5) (рис. 1). Камера находилась в водонепроницаемом боксе «Эпиандр», непосредственно соприкасаясь с его передней стенкой. В качестве источника освещения использовали фонарь для дайвинга (400 лм), который находился на расстоянии около 70 мм от передней плоскости подводного бокса. Бокс с камерой и фонарь были установлены на общем основании, сделанном из пвх-трубы (рис. 2).

Первая часть работы была выполнена в мористой части Великой Салмы, на станции с глубиной около 100 м. Устройство с камерой и источником света опускали при помощи лебёдки с постоянной скоростью около 15 см/сек до глубины 60 м. Положение камеры (глубину) в каждый момент времени оценивали при помощи гидрологического зонда СТD Star Oddi. Съемка велась с частотой 120 кадров в секунду, с разрешением 720х1928 пикселей, с узким полем зрения камеры. Видеоматериал просматривали на замедленной скорости и подсчитывали численность рачков на разных глубинах с детализацией 1 м. Одновременно с видеорегистрацией зоопланктона были собраны сетные пробы зоопланктона (использовали сеть с ячеёй 100 мкм, пробы собирали на горизонтах 0-18 м, 18-33 м, 33-58 м, 58-103 м) (рис. 3), а также получены профили изменения температуры и солёности с глубиной с помощью гидрологического зонда СТD CastAway.



Поле зрения устройства с видеокамерой, а также возможность идентификации организмов на разном расстоянии от камеры оценили экспериментально. Для этого в поле зрения видеокамеры помещали объект-микрометр, а также зоопланктон на предметном стекле. Постепенно отодвигая предметное стекло от камеры при помощи фото-рельс Manfrotto определили фокусное расстояние и глубину резкости. Поле зрения камеры составило 18х32 мм. Объекты находились «в фокусе» на расстоянии 18 мм от передней стенки бокса. Возможность идентификации организмов зависела от размеров, прозрачности, расположения и характерных особенностей объектов.



## Результаты

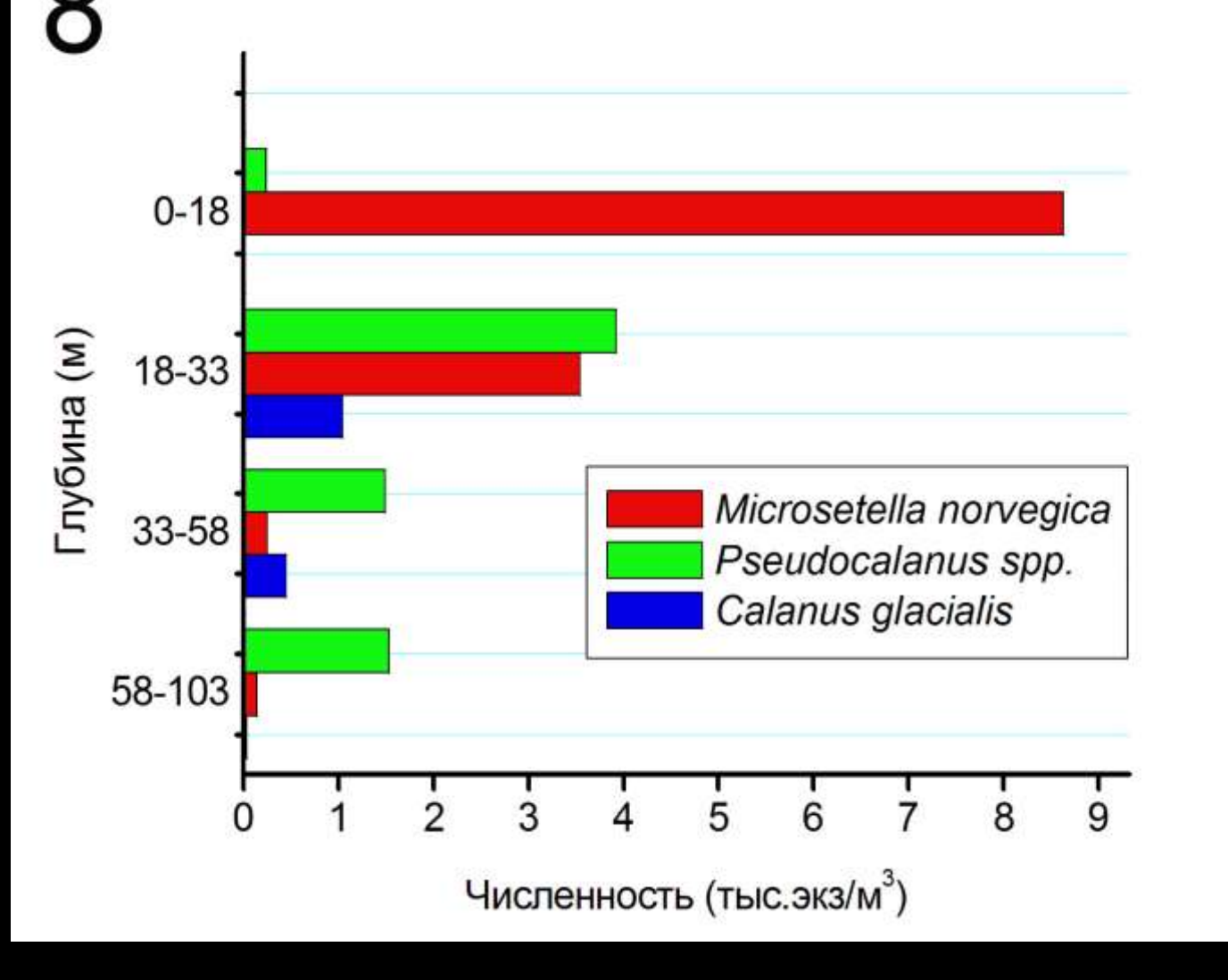
На видеозаписи было возможно идентифицировать объекты с размером более 0,5-1 мм: морских стрелок *Parasagitta elegans* (рис. 4a), гидромедуз *Aglantha digitale* (рис. 4б), веслоногих рачков *Calanus glacialis* (рис. 4в, 5), *Pseudocalanus spp.* (рис. 4г, 6), *Microsetella norvegica* (рис. 4д, 7). Выбранные виды веслоногих ракообразных было просто идентифицировать на видеоматериале (рис. 4), так как они составляли около 100% организмов зоопланктона в своей размерной категории.

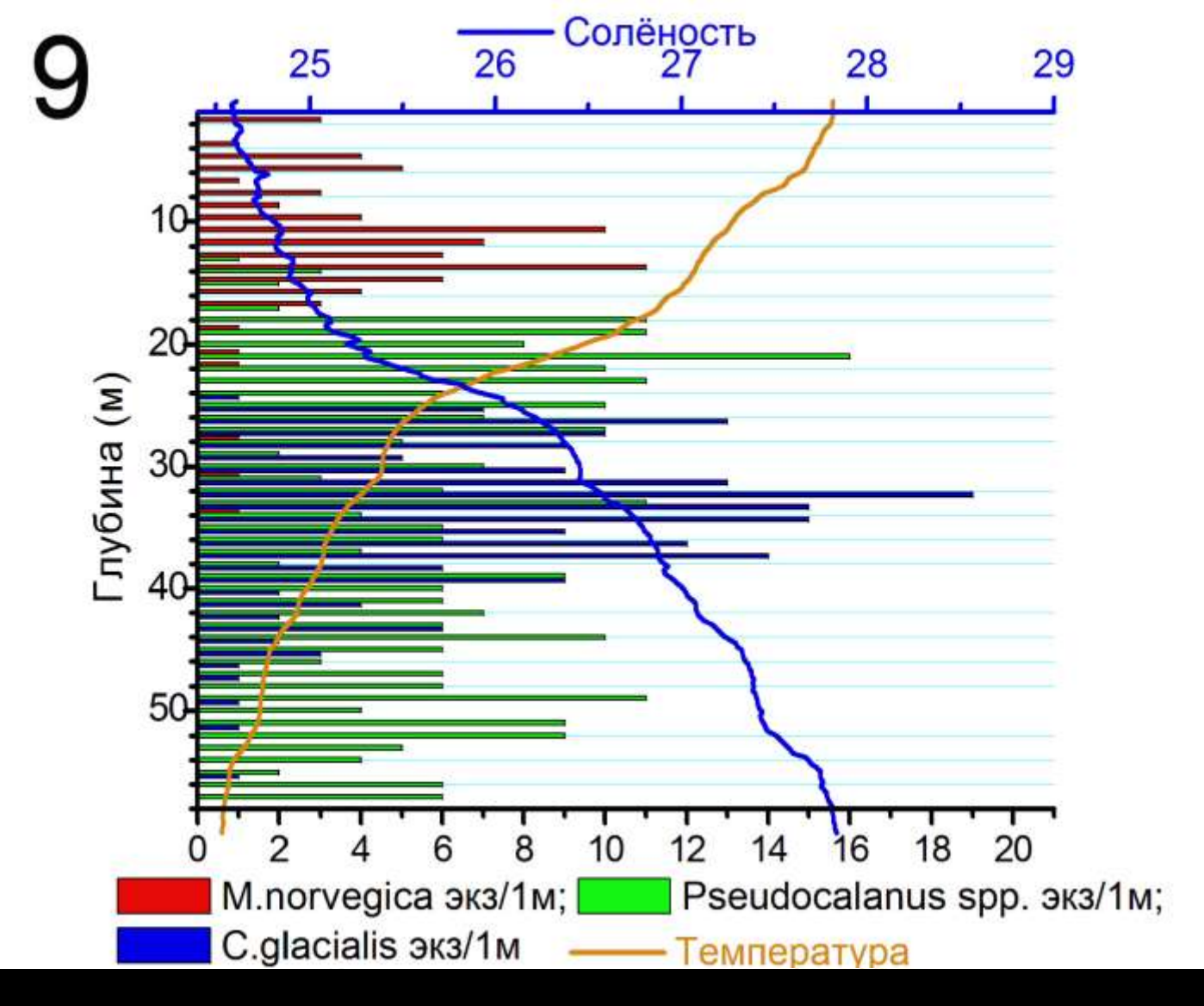
Крупных копепод *Calanus glacialis* можно было идентифицировать в любой точке пространства между передней плоскостью подводного бокса и источником освещения. Рачков *Pseudocalanus spp.* можно было идентифицировать на расстоянии не более 30 мм от передней стенки бокса. Регистрируемый объём, в котором возможна идентификация микроскопических, но ярко окрашенных рачков *Microsetella norvegica* был ещё меньше. Науплиальные стадии развития копепод, а также рачки *Oithona similis* были слишком прозрачны для идентификации, чаще всего они были практически неотличимы от фона.

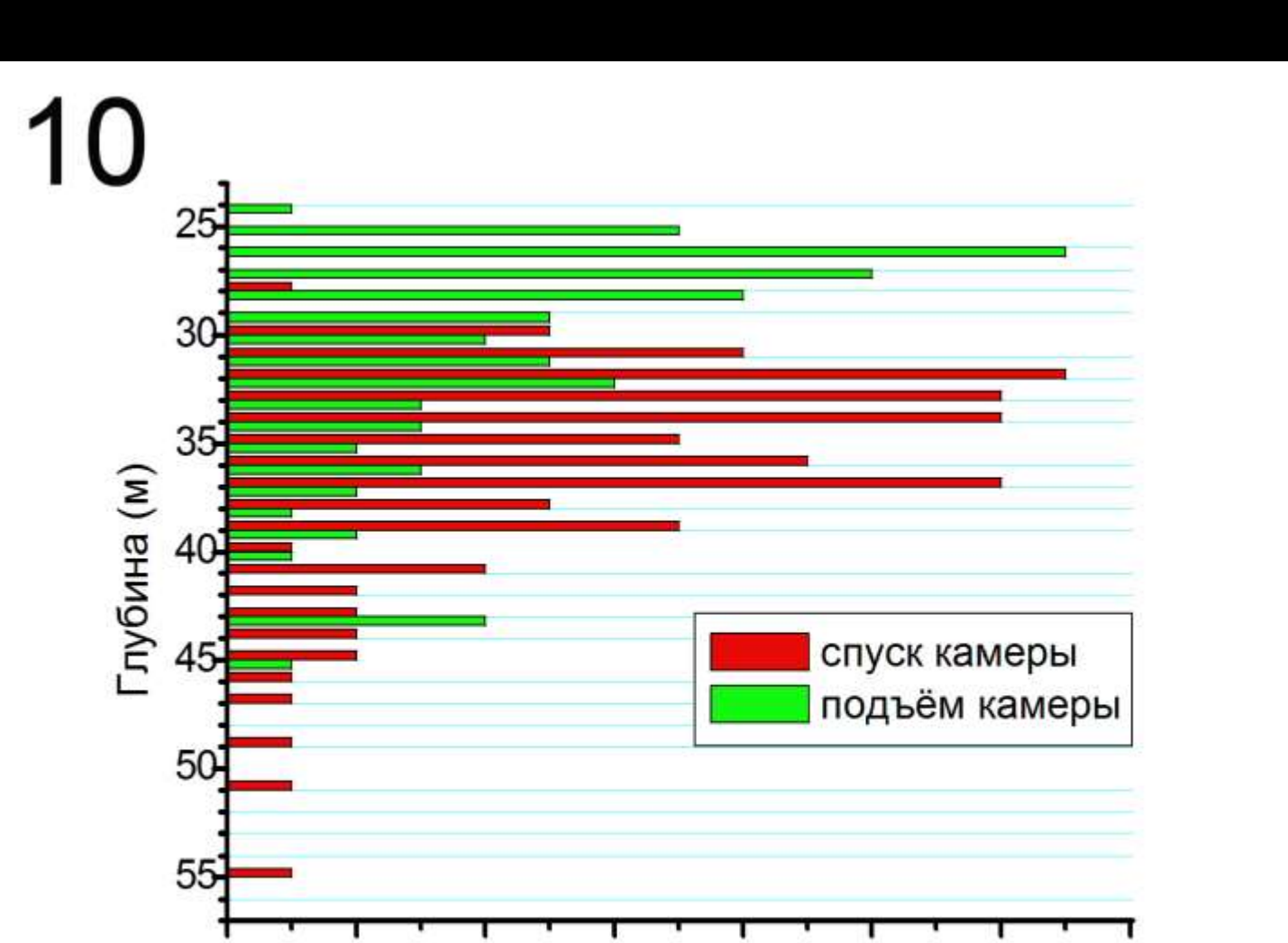
Возможность идентификации зоопланктона зависела от ракурса объекта. Рачки обычно находились в поле зрения в течение 4-12 кадров. При этом идентифицируемый объект иногда входил в «зону резкости» или разворачивался нужным для идентификации ракурсом.

В поверхностных слоях водной толщи преобладали рачки Microsetella norvegica и Oithona similis, а на больших глубинах — Calanus glacialis и Pseudocalanus spp. Общая тенденция изменения численности зоопланктона с глубиной была одинакова по данным сетных ловов (рис. 8) и по данным видеорегистратора (рис. 9). Изменения численности совпадали с изменениями температуры и солёности. Наиболее резкие градиенты температуры и солёности наблюдали в горизонте 20-25 м. Копеподы M.norvegica встречались преимущественно над термо-гало-клином. Копеподы Pseudocalanus spp. были наиболее многочисленны на глубинах резкого изменения температуры и солёности, хотя их численность изменялась с глубиной незначительно. Копеподы C.glacialis (3-4 копеподитные стадии) встречались, начиная с нижней границы градиентов температуры и солёности, преимущественно на глубинах 25-45 м.

При более подробном анализе полученных данных оказалось, что данные, полученные с видеокамеры при её спуске и подъёме несколько отличаются: положение максимума численности рачков *C.glacialis* отличалось на 6 м (рис. 10). Такой сдвиг в вертикальном распределении рачков может быть связан либо с пятнистостью их распределения, либо с влиянием высокочастотных составляющих внутренних волн в области градиентов температуры и солёности (McManus et al., 2005).







Число C.glacialis экз/1м

- Рис. 1 Видеокамера GoPro Hero 4 в водонепроницаемом боксе с двумя макролинзами (x3,5 и x12,5) , установленная на платформу.
- Рис. 2 Устройство видеорегистрации: водонепроницаемый бокс с видеокамерой и фонарь для дайвинга, установленные на общее основание (ПВХ-трубу). Рис. 3 Планктонная сеть для послойного лова зоопланктона: диаметр входного отверстия 25 см, диаметр ячеи фильтрующего конуса 100 мкм.
- Рис. 4 Изображения, полученные при помощи видеорегистратора: морская стрелка *Parasagitta elegans* (A), гидромедуза *Aglantha digita*le (Б), веслоногий рачок *Calanus glacialis* (В), веслоногий рачок *payok Calanus glacialis* (В), веслоногий рачок *payok Calanus* (Г), веслоногий рачок *payok Calanus glacialis* (В), веслоногий рачок *payok Calanus* (Г), веслоногий рачок *payok Calanus* (В), веслоногий вачок *payok Cala*
- Рис. 5 Макрофотография веслоногого рачка *Calanus glacialis* (самка).
- Рис. 6 Макрофотография веслоногого рачка *Pseudocalanus sp.* (самка с яйцами).
- Рис. 7 Макрофотография веслоногого рачка *Microsetella norvegica*.
- Рис. 8 Вертикальное распределение массовых видов зоопланктона (*Calanus glacialis, Pseudocalanus spp., Microsetella norvegica*) по данным сетных сборов.
- Puc. 9 Вертикальное распределение массовых видов зоопланктона (Calanus glacialis, Pseudocalanus spp., Microsetella norvegica) по данным видеорегистратора. Непрерывными линиями показано изменение температуры и солёности с глубиной.
- Рис. 10 Вертикальное распределение рачков *Calanus glacialis*: сравнение распределения рачков при спуске и подъёме видеорегистратора.
- Рис. 11 Макрофотография веслоногого рачка *Acartia longiremis* (самец).
  Рис. 12 Фотография живого рачка *Acartia longiremis*, выполненная под люминесцентным микроскопом. Показано красноватое содержимое кишечника.
- Рис. 13 Вертикальное распределение рачков рода *Acartia* в «озере на Зелёном мысу» по данным видеорегистратора. Непрерывными линиями показано изменение температуры и солёности с глубиной.



Вторая часть работы была выполнена в мелководном частично изолированном от моря водоёме «озеро на зелёном мысу». Водоём входит в программу «комплексное исследование отделяющихся водоёмов Белого моря» (Краснова и др., 2013). Однако исследование вертикального распределения зоопланктона стандартными методами невозможно по причине мелководности данного водоёма. В озере количественно преобладают прибрежные веслоногие ракообразные рода Acartia (A.longiremis и A.bifilosa) (рис. 11). Их вертикальное распределение было изучено при помощи метода видеорегистрации. Устройство с камерой медленно опускали вручную от поверхности до максимальной глубины 5,5 м. Одновременно с видеорегистрацией зоопланктона были собраны сетные пробы зоопланктона (от дна до поверхности), а также получены профили изменения температуры и солёности с глубиной с помощью гидрологического зонда СТD CastAway.



На видеоматериале рачки рода *Acartia* встречались глубже градиента солёности (рис. 13). Наибольшее количество рачков было сконцентрировано поблизости от "красного слоя" - слоя воды с высокой концентрацией криптофитовых водорослей *Rhodomonas abbreviata* (Краснова и др., 2013). По-видимому, рачки питаются этими водорослями. У многих рачков в пищеварительной системе было обнаружено окрашенное содержимое, имеющее оранжевый оттенок при наблюдении под люминесцентным микроскопом (рис. 12).

